

TEORIA ELETROMAGNÉTICA - LISTA DE EXERCÍCIOS II

SÉRGIO CORDEIRO

PARTE 1

1. A densidade volumétrica (ou volumar) de carga ρ_v da nuvem eletrônica de um átomo de hidrogênio pode ser representada por $\frac{\epsilon}{2^2 3^8 \pi a^7} r^4 e^{-\frac{2r}{3a}} \sin^4 \theta$, onde a é uma constante (o raio de Bohr) e r é a coordenada radial esférica medida a partir do próton, cuja carga é e . Calcule a carga: a) da nuvem eletrônica; b) do átomo.

a)

$$\begin{aligned} Q_e &= \iiint \rho_v \, dv \\ &= \iiint \frac{\epsilon}{2^2 3^8 \pi a^7} r^4 e^{-\frac{2r}{3a}} \sin^4 \theta \, dv \\ &= \int_0^{2\pi} \int_0^\pi \int_0^\infty -\frac{\epsilon}{2^2 3^8 \pi a^7} r^4 e^{-\frac{2r}{3a}} \sin^4 \theta \, r^2 \sin \theta \, dr \, d\theta \, d\phi \\ &= \int_0^{2\pi} \int_0^\pi \int_0^\infty -\frac{\epsilon}{2^2 3^8 \pi a^7} r^6 e^{-\frac{2r}{3a}} \sin^5 \theta \, dr \, d\theta \, d\phi \\ &= \int_0^{2\pi} \int_0^\pi \int_0^\infty -\frac{\epsilon}{2^2 3^8 \pi} \left[\frac{r}{a} \right]^6 e^{-\frac{2}{3} \left[\frac{r}{a} \right]} \sin^5 \theta \, d \left[\frac{r}{a} \right] \, d\theta \, d\phi \\ &= \int_0^{2\pi} \int_0^\pi \int_0^\infty -\frac{\epsilon}{2^2 3^8 \pi} u^6 e^{-\frac{2}{3} u} \sin^5 \theta \, du \, d\theta \, d\phi \quad \left(u = \frac{r}{a} \right) \\ &= \int_0^{2\pi} \int_0^\pi \int_0^\infty A u^6 e^{-Bu} \sin^5 \theta \, du \, d\theta \, d\phi \quad \left(A = -\frac{\epsilon}{2^2 3^8 \pi}, B = \frac{2}{3} \right) \end{aligned}$$

$$\begin{aligned}
\int_0^\infty Au^6 e^{-Bu} \sin^5 \theta \, du &= A \sin^5 \theta \left[e^{-Bu} \left(\frac{u^6}{B} + \frac{6u^5}{B^2} + \frac{30u^4}{B^3} + \frac{120u^3}{B^4} + \dots \right. \right. \\
&\quad \left. \left. + \frac{360u^2}{B^5} + \frac{720u}{B^6} + \frac{720}{B^7} \right) \right] \Bigg|_\infty^0 \\
&= A \sin^5 \theta \left[\frac{720}{B^7} - 0 \right] \\
&= -\frac{\mathfrak{e}}{2^2 3^8 \pi} \sin^5 \theta \left[720 \left(\frac{3}{2} \right)^7 \right] \\
&= -\frac{15\mathfrak{e}}{32\pi} \sin^5 \theta \\
&= C \sin^5 \theta \qquad \left(C = -\frac{15\mathfrak{e}}{32\pi} \right)
\end{aligned}$$

$$\begin{aligned}
\int_0^\pi C \sin^5 \theta \, d\theta &= C \left[-\frac{5}{8} \cos \theta + \frac{5}{48} \cos 3\theta - \frac{1}{80} \cos 5\theta \right] \Bigg|_0^\pi \\
&= C \left[-\frac{5}{8} \cos \pi + \frac{5}{48} \cos 3\pi - \frac{1}{80} \cos 5\pi + \frac{5}{8} \cos 0 - \frac{5}{48} \cos 0 + \frac{1}{80} \cos 0 \right] \\
&= C \left[\frac{5}{8} - \frac{5}{48} + \frac{1}{80} + \frac{5}{8} - \frac{5}{48} + \frac{1}{80} \right] \\
&= \frac{16}{15} C
\end{aligned}$$

$$\begin{aligned}
\int_0^{2\pi} \frac{16}{15} C \, d\phi &= \frac{16}{15} C [\phi]_0^{2\pi} \\
&= \frac{16}{15} C [2\pi - 0] \\
&= \frac{32}{15} \pi C
\end{aligned}$$

$$\begin{aligned}Q_e &= \frac{32}{15}\pi C \\&= \frac{32}{15}\pi \left(-\frac{15e}{32\pi}\right) \\&= -e\end{aligned}$$

b)

$$\begin{aligned}Q_t &= Q_e + Q_p \\&= -e + N_H e \\&= -e + 1 \cdot e \\&= 0\end{aligned}$$

N_H : número atômico do hidrogênio

2. Uma partícula puntiforme (ou pontual) de carga q encontra-se a uma distância h de um plano condutor ilimitado. A densidade superficial da carga induzida no plano por essa partícula é: $\rho_S = -\frac{q}{2\pi} \frac{h}{(\rho^2 + h^2)^{\frac{3}{2}}}$, onde ρ é a coordenada cilíndrica radial medida a partir da perpendicular que passa pela partícula. Determine a carga total induzida no plano.

$$\begin{aligned}
 Q &= \iint_{S_z} \rho_S \, dS_z \\
 &= \int_0^{2\pi} \int_0^\infty -\frac{q}{2\pi} \frac{h}{(\rho^2 + h^2)^{\frac{3}{2}}} \rho \, d\rho \, d\phi \\
 &= \int_0^{2\pi} \int_0^\infty -\frac{qh}{4\pi} (u + h^2)^{-\frac{3}{2}} \, du \, d\phi \quad (u = \rho^2) \\
 &= \int_0^{2\pi} -\frac{qh}{4\pi} \left[-2(u + h^2)^{-\frac{1}{2}} \right] \Big|_0^\infty \, d\phi \\
 &= \int_0^{2\pi} \frac{qh}{4\pi} [0 - 2h^{-1}] \, d\phi \\
 &= \int_0^{2\pi} -\frac{q}{2\pi} \, d\phi \\
 &= -\frac{q}{2\pi} [\phi]_0^{2\pi} \\
 &= -\frac{q}{2\pi} [2\pi - 0] \\
 &= -q
 \end{aligned}$$

3. Uma partícula puntiforme de carga q , distante h do centro de uma esfera condutora de raio $a < h$, induz, na superfície desta, uma distribuição de cargas cuja densidade é: $-\frac{q}{4\pi a^2} \frac{a}{h} \frac{1 - (\frac{a}{h})^2}{\left[1 - 2\left(\frac{a}{h}\right) \cos \theta + \left(\frac{a}{h}\right)^2\right]^{\frac{3}{2}}}$, onde θ é a coordenada esférica polar medida a partir do eixo que liga o centro da esfera à carga puntiforme. Calcule a carga total induzida na esfera.

$$\begin{aligned}
 Q &= \iint_{S_r} \rho_s dS_r \\
 &= \int_0^{2\pi} \int_0^\pi -\frac{q}{4\pi a^2} \frac{a}{h} \frac{1 - \left(\frac{a}{h}\right)^2}{\left[1 - 2\left(\frac{a}{h}\right) \cos \theta + \left(\frac{a}{h}\right)^2\right]^{\frac{3}{2}}} \left[r^2 \sin \theta d\theta d\phi\right] \Big|_{r=a} \\
 &= \int_0^{2\pi} \int_0^\pi -\frac{q}{4\pi ah} \frac{h^2 - a^2}{[h^2 - 2ah \cos \theta + a^2]^{\frac{3}{2}}} h [a^2 \sin \theta d\theta d\phi] \\
 &= \int_0^{2\pi} \int_0^\pi -\frac{q}{8\pi h} \frac{h^2 - a^2}{[h^2 - 2ah \cos \theta + a^2]^{\frac{3}{2}}} [2ah \sin \theta d\theta] d\phi \\
 &= \int_0^{2\pi} \int_{-2ah}^{2ah} -\frac{q}{8\pi h} \frac{h^2 - a^2}{[h^2 + u + a^2]^{\frac{3}{2}}} du d\phi \quad (u = -2ah \cos \theta) \\
 &= \int_0^{2\pi} \int_{-2ah}^{2ah} -\frac{q[h^2 - a^2]}{8\pi h} [h^2 + u + a^2]^{-\frac{3}{2}} du d\phi \\
 &= \int_0^{2\pi} -\frac{q[h^2 - a^2]}{4\pi h} \left([h^2 + u + a^2]^{-\frac{1}{2}} \Big|_{-2ah}^{2ah} \right) d\phi \\
 &= -\frac{q[h^2 - a^2]}{4\pi h} \left([h^2 - 2ah + a^2]^{-\frac{1}{2}} - [h^2 + 2ah + a^2]^{-\frac{1}{2}} \right) \phi \Big|_0^{2\pi} \\
 &= -\frac{q[h^2 - a^2]}{4\pi h} \left([h - a]^{-1} - [h + a]^{-1} \right) (2\pi - 0) \\
 &= -\frac{q}{2h} ([h + a] - [h - a]) \\
 &= -\frac{a}{h} q
 \end{aligned}$$

4. Um fio circular de espessura desprezível e raio a está carregado com uma densidade linear dada por: $\rho_{l_0} \sin^3(n\phi)$, onde ρ_{l_0} é uniforme, n é um inteiro e ϕ é o ângulo polar em coordenadas cilíndricas. Dê a carga total do fio.

$$\begin{aligned}
 Q &= \int_{l_\phi} \rho_l dl_\phi \\
 &= \int_0^{2\pi} \rho_{l_0} \sin^3(n\phi) [\rho d\phi] \Big|_{\rho=a} \\
 &= \int_0^{2\pi} \rho_{l_0} a \sin^3(n\phi) d\phi \\
 &= \rho_{l_0} \frac{a}{12n} [\cos(3n\phi) - 9 \cos(n\phi)] \Big|_0^{2\pi} \\
 &= \rho_{l_0} \frac{a}{12n} ([\cos(6n\pi) - 9 \cos(2n\pi)] - [\cos(0) - 9 \cos(0)]) \\
 &= \rho_{l_0} \frac{a}{12n} (1 - 9 - 1 + 9) \\
 &= 0
 \end{aligned}$$

5. Em termos de delta de Dirac, exprima a densidade volumétrica das distribuições de cargas dos seguintes exercícios: a) 2), com o plano $z = 0$ sobre o plano carregado; b) 3); c) 4) em coordenadas cilíndricas; d) 4) em coordenadas esféricas.

a)

$$\rho_v(\vec{r}) = \rho_S(\rho)\delta(z)$$

b)

$$\rho_v(\vec{r}) = \rho_S(\theta)\delta(r - a)$$

c)

$$\rho_v(\vec{r}) = \rho_l(\phi)\delta(\rho - a)\delta(z)$$

d)

$$\rho_v(\vec{r}) = \rho_l(\phi) \frac{1}{r_l^2 \sin \theta} \delta(r - r_l) \delta(\theta - \theta_l) \Big|_{r_l=a, \theta_l=\frac{\pi}{2}}$$

$$= \rho_l(\phi) \frac{1}{a^2} \delta(r - a) \delta\left(\theta - \frac{\pi}{2}\right)$$

ou, alternativamente,

$$\rho_v(\vec{r}) = \rho_l(\phi) \frac{1}{r_l^2} \delta(r - r_l) \delta(\cos \theta - \cos \theta_l) \Big|_{r_l=a, \theta_l=\frac{\pi}{2}}$$

$$= \rho_l(\phi) \frac{1}{a^2} \delta(r - a) \delta(\cos \theta)$$

6. Quatro partículas puntiformes, de mesma carga q , situam-se nos vértices de um quadrado do plano xy com centro na origem e com lados, de comprimento $2a$, paralelos aos eixos desse plano. Determine: a) a expressão cartesiana da densidade volumétrica de cargas; b) a carga total, integrando a densidade de cargas.

a)

$$\begin{aligned}
 \rho_v(\vec{r}) &= \sum_{n=1}^4 \rho_{v_n} \\
 &= \sum_{n=1}^4 q_n \delta(x - x_n) \delta(y - y_n) \delta(z) \\
 &= q_n [\delta(x - a) \delta(y - a) + \delta(x + a) \delta(y - a) + \delta(x + a) \delta(y + a) + \dots \\
 &\quad + \delta(x - a) \delta(y + a)] \delta(z)
 \end{aligned}$$

b)

$$\begin{aligned}
 Q_t &= \iiint \rho_v dv \\
 &= \int_{-\infty}^{\infty} \int_{-\infty}^{\infty} \int_{-\infty}^{\infty} q_n [\delta(x - a) \delta(y - a) + \delta(x + a) \delta(y - a) + \dots \\
 &\quad + \delta(x + a) \delta(y + a) + \delta(x - a) \delta(y + a)] \delta(z) dx dy dz \\
 &= \int_{-\infty}^{\infty} \int_{-\infty}^{\infty} q_n [\delta(x - a) \delta(y - a) + \delta(x + a) \delta(y - a) + \dots \\
 &\quad + \delta(x + a) \delta(y + a) + \delta(x - a) \delta(y + a)] dx dy \\
 &= \int_{-\infty}^{\infty} q_n [\delta(x - a) + \delta(x + a) + \delta(x + a) + \delta(x - a)] dx \\
 &= q_n [1 + 1 + 1 + 1] \\
 &= 4q
 \end{aligned}$$

7. Uma carga puntiforme q oscila ao longo do eixo cartesiano z segundo a equação $q(t) = a \cos \omega t$, onde a e ω são uniformes e constantes. Dê a expressão da densidade volumétrica instantânea da distribuição.

$$\begin{aligned}\rho_v(\vec{r}) &= q\delta(x)\delta(y)\delta(z - z_q) \\ &= q\delta(x)\delta(y)\delta(z - a \cos[\omega t])\end{aligned}$$

8. Uma distribuição superficial de cargas, com densidade uniforme ρ_{l_0} , ocupa três planos ilimitados mutuamente ortogonais. Escolha o sistema de coordenadas mais adequado ao problema e: a) exprima em termos dele a densidade volumétrica de cargas; b) calcule, por integração, a carga total existente dentro de um cubo de aresta L, com centro na interseção dos planos e com faces paralelas a eles.

a)

$$\begin{aligned}
 \rho_v(\vec{r}) &= \sum_{n=1}^3 \rho_{v_n} \\
 &= \sum_{n=1}^3 \rho_{S_n} \delta(a_n) \\
 &= \sum_{n=1}^3 \rho_{S_0} \delta(a_n) \\
 &= \rho_{S_0} [\delta(x) + \delta(y) + \delta(z)]
 \end{aligned}$$

b)

$$\begin{aligned}
Q_L &= \iiint_L \rho_v(\vec{r}) \, dv \\
&= \iiint_L \rho_{S_0} [\delta(x) + \delta(y) + \delta(z)] \, dx \, dy \, dz \\
&= \int_{-\frac{L}{2}}^{\frac{L}{2}} \int_{-\frac{L}{2}}^{\frac{L}{2}} \int_{-\frac{L}{2}}^{\frac{L}{2}} \rho_{S_0} [\delta(x) + \delta(y) + \delta(z)] \, dx \, dy \, dz \\
&= \int_{-\frac{L}{2}}^{\frac{L}{2}} \int_{-\frac{L}{2}}^{\frac{L}{2}} \int_{-\frac{L}{2}}^{\frac{L}{2}} \rho_{S_0} \delta(x) \, dx \, dy \, dz + \int_{-\frac{L}{2}}^{\frac{L}{2}} \int_{-\frac{L}{2}}^{\frac{L}{2}} \int_{-\frac{L}{2}}^{\frac{L}{2}} \rho_{S_0} \delta(y) \, dx \, dy \, dz + \dots \\
&\quad + \int_{-\frac{L}{2}}^{\frac{L}{2}} \int_{-\frac{L}{2}}^{\frac{L}{2}} \int_{-\frac{L}{2}}^{\frac{L}{2}} \rho_{S_0} \delta(z) \, dx \, dy \, dz \\
&= \int_{-\frac{L}{2}}^{\frac{L}{2}} \int_{-\frac{L}{2}}^{\frac{L}{2}} \int_{-\frac{L}{2}}^{\frac{L}{2}} \rho_{S_0} \delta(x) \, dy \, dz \, dx + \int_{-\frac{L}{2}}^{\frac{L}{2}} \int_{-\frac{L}{2}}^{\frac{L}{2}} \int_{-\frac{L}{2}}^{\frac{L}{2}} \rho_{S_0} \delta(y) \, dz \, dx \, dy + \dots \\
&\quad + \int_{-\frac{L}{2}}^{\frac{L}{2}} \int_{-\frac{L}{2}}^{\frac{L}{2}} \int_{-\frac{L}{2}}^{\frac{L}{2}} \rho_{S_0} \delta(z) \, dx \, dy \, dz \\
&= \int_{-\frac{L}{2}}^{\frac{L}{2}} \int_{-\frac{L}{2}}^{\frac{L}{2}} \rho_{S_0} \cdot 1 \cdot \, dy \, dz + \int_{-\frac{L}{2}}^{\frac{L}{2}} \int_{-\frac{L}{2}}^{\frac{L}{2}} \rho_{S_0} \cdot 1 \cdot \, dz \, dx + \dots \\
&\quad + \int_{-\frac{L}{2}}^{\frac{L}{2}} \int_{-\frac{L}{2}}^{\frac{L}{2}} \rho_{S_0} \cdot 1 \cdot \, dx \, dy \\
&= \int_{-\frac{L}{2}}^{\frac{L}{2}} \rho_{S_0} \, dy \, z \Big|_{-\frac{L}{2}}^{\frac{L}{2}} + \int_{-\frac{L}{2}}^{\frac{L}{2}} \rho_{S_0} \, dz \, x \Big|_{-\frac{L}{2}}^{\frac{L}{2}} + \int_{-\frac{L}{2}}^{\frac{L}{2}} \rho_{S_0} \, dx \, y \Big|_{-\frac{L}{2}}^{\frac{L}{2}} \\
&= \int_{-\frac{L}{2}}^{\frac{L}{2}} \rho_{S_0} \, dy \left[\frac{L}{2} + \frac{L}{2} \right] + \int_{-\frac{L}{2}}^{\frac{L}{2}} \rho_{S_0} \, dz \left[\frac{L}{2} + \frac{L}{2} \right] + \int_{-\frac{L}{2}}^{\frac{L}{2}} \rho_{S_0} \, dx \left[\frac{L}{2} + \frac{L}{2} \right] \\
&= \int_{-\frac{L}{2}}^{\frac{L}{2}} \rho_{S_0} \, L \, dy + \int_{-\frac{L}{2}}^{\frac{L}{2}} \rho_{S_0} \, L \, dz + \int_{-\frac{L}{2}}^{\frac{L}{2}} \rho_{S_0} \, L \, dx \\
&\quad \vdots
\end{aligned}$$

$$\vdots$$

$$\begin{aligned} Q_L &= \rho_{S_0} L \left| y \right|_{-\frac{L}{2}}^{\frac{L}{2}} + \rho_{S_0} L \left| z \right|_{-\frac{L}{2}}^{\frac{L}{2}} + \rho_{S_0} L \left| x \right|_{-\frac{L}{2}}^{\frac{L}{2}} \\ &= \rho_{S_0} L^2 + \rho_{S_0} L^2 + \rho_{S_0} L^2 \\ &= 3\rho_{S_0} L^2 \end{aligned}$$

9. Uma superfície cônica carregada tem raio a , altura h e o vértice para baixo. Nesse sistema, a densidade superficial de carga é $\rho_{S_0} \cos\left(\frac{\pi z}{2h}\right)$, onde ρ_{S_0} é uniforme. Determine: a) a equação cilíndrica da superfície cônica; b) o elemento de carga, em função da coordenada z ; c) a carga total da distribuição.

a)

$$S : \begin{cases} \rho|_{z=0} = 0 \\ \rho|_{z=h} = a \\ \rho = Az + B \end{cases}$$

$$S : \rho - \frac{a}{h} z = 0$$

b)

$$\begin{aligned} dq &= \rho_S dS \\ &= \rho_{S_0} \cos\left(\frac{\pi z}{2h}\right) \sqrt{(d\rho)^2 + (dz)^2} \rho d\phi \\ &= \rho_{S_0} \cos\left(\frac{\pi z}{2h}\right) \sqrt{\left(\frac{a}{h} dz\right)^2 + (dz)^2} \frac{a}{h} z d\phi \\ &= \frac{a}{h} \rho_{S_0} \cos\left(\frac{\pi z}{2h}\right) \sqrt{\left(\frac{a}{h}\right)^2 + 1} z dz d\phi \end{aligned}$$

$$\begin{aligned} \delta q &= \int_0^{2\pi} dq \\ &= \int_0^{2\pi} \frac{a}{h} \rho_{S_0} \cos\left(\frac{\pi z}{2h}\right) \sqrt{\left(\frac{a}{h}\right)^2 + 1} z dz d\phi \\ &= \rho_{S_0} \frac{a}{h} \cos\left(\frac{\pi z}{2h}\right) \sqrt{\left(\frac{a}{h}\right)^2 + 1} z dz \phi \Big|_0^{2\pi} \\ &= \frac{2\pi a}{h^2} \sqrt{a^2 + h^2} \rho_{S_0} \cos\left(\frac{\pi z}{2h}\right) z dz \end{aligned}$$

c)

$$\begin{aligned}
Q &= \int_0^h \delta \mathbf{q} \\
&= \int_0^h \frac{2\pi a}{h^2} \sqrt{a^2 + h^2} \boldsymbol{\rho}_{S_0} \cos\left(\frac{\pi z}{2h}\right) z \, dz \\
&= \frac{2\pi a}{h^2} \sqrt{a^2 + h^2} \boldsymbol{\rho}_{S_0} \left(\frac{2h}{\pi}\right)^2 \left[\frac{\pi z}{2h} \sin\left(\frac{\pi z}{2h}\right) + \cos\left(\frac{\pi z}{2h}\right) \right] \Big|_0^h \\
&= \frac{2\pi a}{h^2} \sqrt{a^2 + h^2} \boldsymbol{\rho}_{S_0} \left(\frac{2h}{\pi}\right)^2 \left[\frac{\pi h}{2h} \sin\left(\frac{\pi h}{2h}\right) + \cos\left(\frac{\pi h}{2h}\right) - \frac{0}{2h} \sin\left(\frac{0}{2h}\right) - \cos\left(\frac{0}{2h}\right) \right] \\
&= \frac{8a}{\pi} \sqrt{a^2 + h^2} \boldsymbol{\rho}_{S_0} \left[\frac{\pi}{2} + 0 - 0 - 1 \right] \\
&= \frac{4(\pi - 2)}{\pi} a \sqrt{a^2 + h^2} \boldsymbol{\rho}_{S_0}
\end{aligned}$$

10. A superfície esférica carregada, de equação S: $r = a$, gira em torno do eixo z com velocidade angular ω . Determine a densidade superficial da corrente assim gerada, usando a: a) densidade volumétrica de cargas; b) densidade linear da corrente superficial.

a)

$$\begin{aligned}
 \vec{J} &= \rho_v \vec{u}_S & \boxed{\vec{u}_S: \text{velocidade linear na superfície S}} \\
 &= \frac{\delta q}{dv} u_S \hat{a}_\phi \\
 &= \frac{\rho_S dS}{dv} \omega \rho \hat{a}_\phi \\
 &= \rho_{S_0} \delta(r - a) \omega a \sin \theta \hat{a}_\phi
 \end{aligned}$$

b)

$$\begin{aligned}
 \vec{k} &= \rho_S \vec{u}_S \\
 &= \rho_{S_0} \omega a \sin \theta \hat{a}_\phi
 \end{aligned}$$

$$\begin{aligned}
 \vec{J} &= \vec{k} \frac{dS}{dv} \\
 &= \rho_{S_0} \omega a \sin \theta \hat{a}_\phi \delta(r - a)
 \end{aligned}$$

11. Com a distribuição de correntes do exercício 10), determine a corrente que atravessa qualquer semiplano meridiano, usando a densidade: a) superficial de corrente; b) linear de corrente.

a)

$$\begin{aligned}
 i &= \iint_S \vec{J} \cdot d\vec{S} \\
 &= \iint_S [\rho_{S_0} \delta(r-a) \omega a \sin \theta \hat{a}_\phi] \cdot [r^2 \sin \theta d\theta d\phi \hat{a}_r + r \sin \theta dr d\phi \hat{a}_\theta + r dr d\theta \hat{a}_\phi] \\
 &= \int_0^\pi \rho_{S_0} \omega a \sin \theta a d\theta \\
 &= \rho_{S_0} \omega a^2 \cos \theta \Big|_\pi^0 \\
 &= \rho_{S_0} \omega a^2 [1 + 1] \\
 &= 2\omega a^2 \rho_{S_0}
 \end{aligned}$$

b)

$$\begin{aligned}
 i &= \int_C \vec{k} \cdot (\hat{a}_N \times d\vec{l}_C) && \boxed{\hat{a}_N: \text{vetor unitário normal à superfície S}} \\
 &= \int_C [\rho_{S_0} \omega a \sin \theta \hat{a}_\phi] \cdot [\hat{a}_r \times a d\theta \hat{a}_\theta] \\
 &= \int_C [\rho_{S_0} \omega a \sin \theta \hat{a}_\phi] \cdot [a d\theta \hat{a}_\phi] \\
 &= \int_0^\pi \rho_{S_0} \omega a^2 \sin \theta d\theta \\
 &= 2\omega a^2 \rho_{S_0}
 \end{aligned}$$

12. Num disco plano de espessura desprezível e raio a , distribui-se uniformemente uma carga q . O disco gira em torno do seu eixo de simetria com velocidade angular ω . Num sistema de coordenadas cilíndricas coaxiais e concêntricas ao disco, determine a: a) equação da superfície carregada; b) densidade linear de corrente; c) corrente elementar gerada pela rotação do elemento de carga situado entre ρ e $\rho + d\rho$; d) corrente gerada pela rotação do disco; e) corrente do item d) em termos do período T de rotação do disco.

a)

$$S : \begin{cases} \rho \leq a \\ z = 0 \end{cases}$$

b)

$$\begin{aligned} \vec{k} &= \rho_S \vec{u}_S \\ &= \frac{q}{S} \omega \rho \hat{a}_\phi \\ &= \frac{q}{\pi a^2} \omega \rho \hat{a}_\phi \end{aligned}$$

c)

$$\begin{aligned} \delta i &= \vec{k} \cdot \delta \vec{S} \\ &= \frac{q}{\pi a^2} \omega \rho \hat{a}_\phi \cdot \delta \vec{S} \hat{a}_\phi \\ &= \frac{q}{\pi a^2} \omega \rho \hat{a}_\phi \cdot (d\rho \hat{a}_\phi) \\ &= \frac{q}{\pi a^2} \omega \rho d\rho \end{aligned}$$

d)

$$\begin{aligned} i &= \iiint_S \delta i \\ &= \int_0^a \frac{q}{\pi a^2} \omega \rho \, d\rho \\ &= \frac{q}{\pi a^2} \omega \left. \frac{1}{2} \rho^2 \right|_0^a \\ &= \frac{q}{2\pi a^2} \omega a^2 \\ &= \frac{q\omega}{2\pi} \end{aligned}$$

e)

$$\begin{aligned} i &= \frac{q\omega}{2\pi} \\ &= \frac{q}{T} \end{aligned}$$

13. A superfície cônica do exercício 9) tem agora uma distribuição de cargas uniforme, com densidade ρ_{S_0} , e gira em torno do seu eixo de simetria com velocidade angular ω . Determine a: a) expressão da densidade linear de corrente; b) corrente gerada pela rotação do cone.

a)

$$\begin{aligned}\vec{k} &= \rho_S \vec{u}_S \\ &= \rho_{S_0} u_S \hat{a}_\phi \\ &= \rho_{S_0} \omega \rho \hat{a}_\phi \\ &= \rho_{S_0} \omega \frac{a}{h} z \hat{a}_\phi\end{aligned}$$

b)

$$i = \int_C \vec{k} \cdot (\hat{a}_N \times d\vec{l}_C)$$

$$\hat{a}_N = \frac{\vec{\nabla} S}{|\vec{\nabla} S|}$$

$$\begin{aligned} \vec{\nabla} S &= \left(\frac{\partial}{\partial \rho} \hat{a}_\rho + \frac{1}{\rho} \frac{\partial}{\partial \phi} \hat{a}_\phi + \frac{\partial}{\partial z} \hat{a}_z \right) \left[\rho - \frac{a}{h} z \right] \\ &= \hat{a}_\rho - \frac{a}{h} \hat{a}_z \end{aligned}$$

$$\begin{aligned} \hat{a}_N &= \frac{\vec{\nabla} S}{|\vec{\nabla} S|} \\ &= \frac{\hat{a}_\rho - \frac{a}{h} \hat{a}_z}{\sqrt{1 + \left(\frac{a}{h} \right)^2}} \\ &= \frac{h \hat{a}_\rho - a \hat{a}_z}{\sqrt{h^2 + a^2}} \end{aligned}$$

$$\begin{aligned}
i &= \int_C \vec{k} \cdot (\hat{a}_N \times d\vec{l}_C) \\
&= \int_C \rho_{S_0} \omega \frac{a}{h} z \hat{a}_\phi \cdot \left(\left[\frac{h \hat{a}_\rho - a \hat{a}_z}{\sqrt{h^2 + a^2}} \right] \times [d\rho \hat{a}_\rho + dz \hat{a}_z] \right) \\
&= \int_C \rho_{S_0} \omega \frac{a}{h} z \hat{a}_\phi \cdot \left(- \left[\frac{h dz \hat{a}_\phi + a d\rho \hat{a}_\phi}{\sqrt{h^2 + a^2}} \right] \right) \\
&= - \int_C \rho_{S_0} \omega \frac{a}{h} z \frac{h dz + a d\rho}{\sqrt{h^2 + a^2}} \\
&= - \int_C \rho_{S_0} \omega \frac{a}{h} z \frac{h dz + a \frac{a}{h} dz}{\sqrt{h^2 + a^2}} \\
&= - \int_0^h \rho_{S_0} \omega \frac{a}{h^2} \frac{h^2 + a^2}{\sqrt{h^2 + a^2}} z dz \\
&= - \rho_{S_0} \omega \frac{a}{h^2} \sqrt{h^2 + a^2} \left. \frac{1}{2} z^2 \right|_0^h \\
&= - \rho_{S_0} \omega \frac{a}{2h^2} \sqrt{h^2 + a^2} h^2 \\
&= - \frac{a\omega \rho_{S_0}}{2} \sqrt{h^2 + a^2}
\end{aligned}$$

14. Uma corrente superficial, com densidade linear uniforme de módulo K , escoa sobre o plano xy na direção \hat{y} . Determine a: a) expressão cartesiana da densidade superficial de corrente; b) corrente que atravessa um segmento de comprimento L da bissetriz do primeiro quadrante no plano xy .

a)

$$\begin{aligned}\vec{J} &= \vec{k}\delta(z) \\ &= k\hat{a}_y\delta(z)\end{aligned}$$

b)

$$\begin{aligned}i &= \int_C \vec{k} \cdot (\hat{a}_N \times d\vec{l}) \\ &= \int_C k\hat{a}_y \cdot ([\hat{a}_z] \times [dx \hat{a}_x + dy \hat{a}_y]) \\ &= \int_C k\hat{a}_y \cdot (dx \hat{a}_y - dy \hat{a}_x) \\ &= \int_0^{\frac{L}{\sqrt{2}}} k dx \\ &= k \Big|_0^{\frac{L}{\sqrt{2}}} \\ &= \frac{kL}{\sqrt{2}}\end{aligned}$$

15. Com a carga oscilante do exercício 7), determine a: a) expressão cartesiana da densidade superficial de corrente; b) corrente instantânea que atravessa qualquer ponto do eixo z.

a)

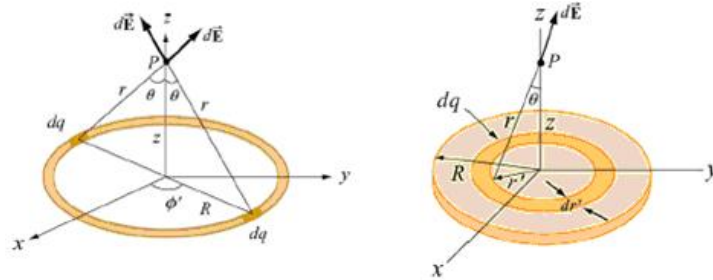
$$\begin{aligned}
 \vec{J} &= \rho_v \vec{u} && \boxed{\vec{u}: \text{velocidade da partícula}} \\
 &= q\delta(x)\delta(y)\delta(z - a\cos[\omega t])u\hat{a}_z \\
 &= q\delta(x)\delta(y)\delta(z - a\cos[\omega t])\frac{dz}{dt}\hat{a}_z \\
 &= q\delta(x)\delta(y)\delta(z - a\cos[\omega t])\frac{d}{dt}(a\cos[\omega t])\hat{a}_z \\
 &= q\delta(x)\delta(y)\delta(z - a\cos[\omega t])(-a\omega\sin[\omega t])\hat{a}_z \\
 &= -q\omega a\delta(x)\delta(y)\delta(z - a\cos[\omega t])\sin[\omega t]\hat{a}_z
 \end{aligned}$$

b)

$$\begin{aligned}
 i &= \iint_S \vec{J} \cdot d\vec{S} \\
 &= \iint_S (-q\omega a\delta(x)\delta(y)\delta(z - a\cos[\omega t])\sin[\omega t]\hat{a}_z) \cdot (dx\,dy\,\hat{a}_z) \\
 &= \int_{-\infty}^{\infty} \int_{-\infty}^{\infty} (-q\omega a\delta(x)\delta(y)\delta(z - a\cos[\omega t])\sin[\omega t])\,dx\,dy \\
 &= -q\omega a\delta(z - a\cos[\omega t])\sin[\omega t]
 \end{aligned}$$

PARTE 2

1. Para as distribuições de carga a seguir apresente o gráfico do campo elétrico ao longo do eixo z. Comente os resultados.



a)

$$\begin{aligned} d\vec{E} &= \frac{dq}{4\pi\epsilon_0 r^2} \hat{a}_r \\ &= \frac{dq}{4\pi\epsilon_0 (R^2 + z^2)} \hat{a}_r \end{aligned}$$

$$\vec{E} = \int_C d\vec{E}$$

C: anel carregado

$$= \int_C d\vec{E}_x + \int_C d\vec{E}_y + \int_C d\vec{E}_z$$

$$= 0 + 0 + \int_C d\vec{E}_z$$

devido à simetria do problema

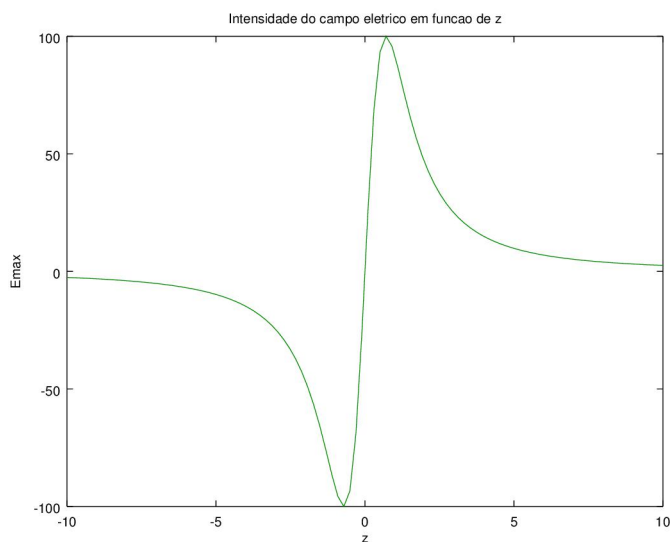
$$= \int_C \frac{dq}{4\pi\epsilon_0 (R^2 + z^2)} \cos(\theta) \hat{a}_z$$

$$= \int_C \frac{dq}{4\pi\epsilon_0 (R^2 + z^2)} \frac{z}{\sqrt{R^2 + z^2}} \hat{a}_z$$

$$= \frac{Q}{4\pi\epsilon_0} z (R^2 + z^2)^{-\frac{3}{2}} \hat{a}_z$$

Q: carga total no anel

O campo elétrico tem sempre a direção \hat{a}_z e o sentido de acordo com o sinal de z . A intensidade varia conforme $\left(z (R^2 + z^2)^{-\frac{3}{2}}\right)$: para z grande, diminui segundo z^{-2} , como se o anel carregado fosse uma carga puntual; para z pequeno, aumenta segundo z . A intensidade atinge o máximo para $z = R\sqrt{2}$, como se pode ver no gráfico a seguir.



b)

$$\vec{E} = \int_S d\vec{E} \quad \boxed{S: \text{disco carregado}}$$

$$= \int_S \frac{dq}{4\pi\epsilon_0} z (\rho^2 + z^2)^{-\frac{3}{2}} \hat{a}_z \quad \boxed{\text{conforme o anterior}}$$

$$dq = \rho_S dS \quad \boxed{\rho_S: \text{densidade superficial de carga}}$$

$$= \frac{Q}{S} (2\pi\rho d\rho) \quad \boxed{\text{considerando } \rho_S \text{ constante}}$$

$$= \frac{Q}{\pi R^2} (2\pi\rho d\rho) \quad \boxed{Q: \text{carga total no disco}}$$

$$= \frac{2Q}{R^2} \rho d\rho$$

$$\vec{E} = \int_S \left(\frac{2Q}{R^2} \rho d\rho \right) \frac{1}{4\pi\epsilon_0} z (\rho^2 + z^2)^{-\frac{3}{2}} \hat{a}_z$$

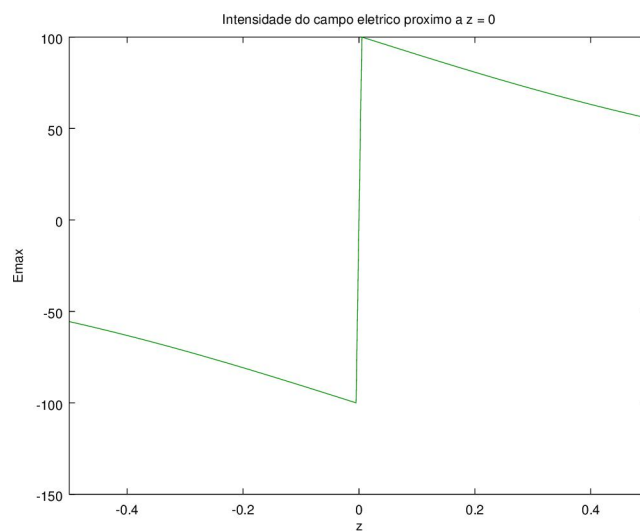
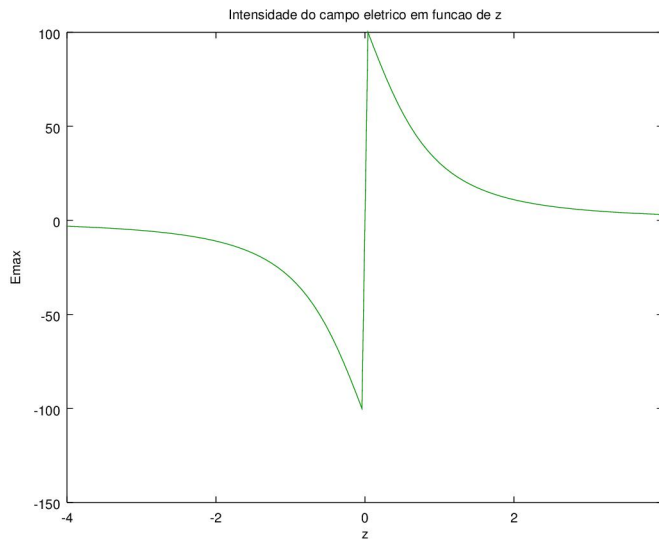
$$= \frac{Qz}{2\pi R^2 \epsilon_0} \int_0^R \rho (\rho^2 + z^2)^{-\frac{3}{2}} d\rho \hat{a}_z$$

$$= \frac{Qz}{2\pi R^2 \epsilon_0} \left[(\rho^2 + z^2)^{-\frac{1}{2}} \right]_0^R \hat{a}_z$$

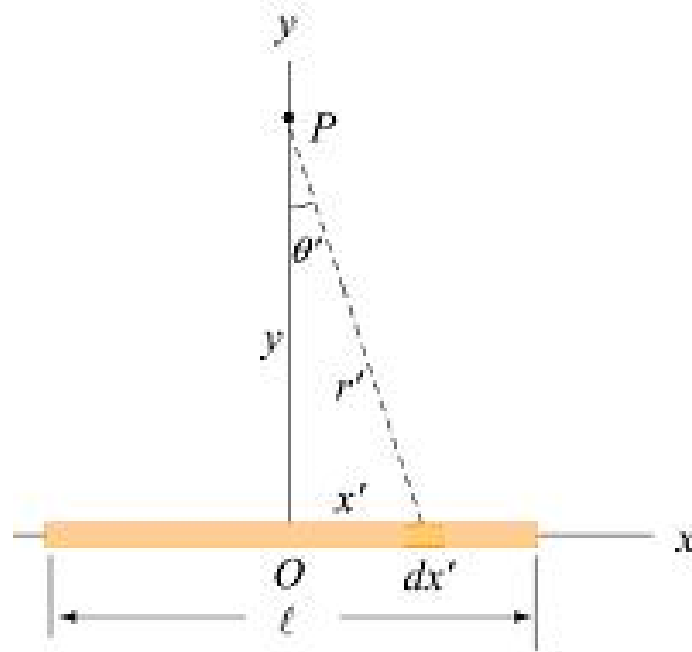
$$= \frac{Qz}{2\pi R^2 \epsilon_0} \left[(z^2)^{-\frac{1}{2}} - (R^2 + z^2)^{-\frac{1}{2}} \right] \hat{a}_z$$

$$= \frac{Q}{2\pi R^2 \epsilon_0} \left[\text{sgn}(z) - \frac{z}{\sqrt{R^2 + z^2}} \right] \hat{a}_z$$

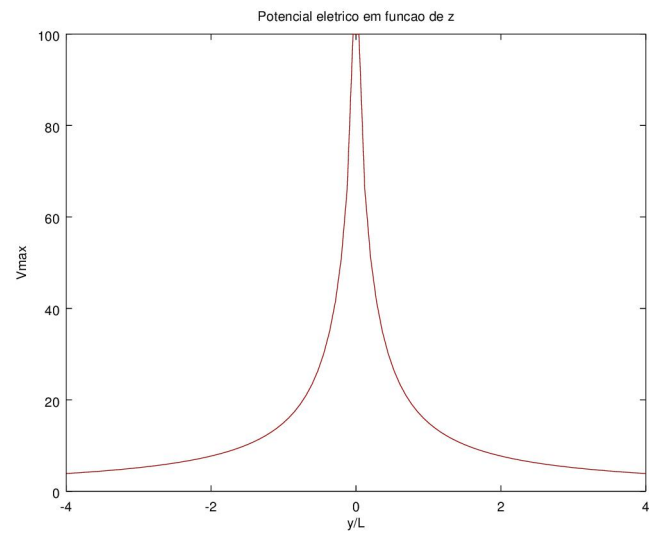
O campo elétrico tem sempre a direção \hat{a}_z e sentido conforme o sinal de z . A intensidade varia conforme $\left(1 - \frac{z}{\sqrt{R^2 + z^2}}\right)$: para z grande, diminui segundo z^{-2} , como se o disco fosse uma carga puntual; para z muito pequeno, é praticamente constante, como se o disco fosse uma placa infinita. Em $z = 0$ há uma descontinuidade, como se pode ver nos gráficos abaixo.



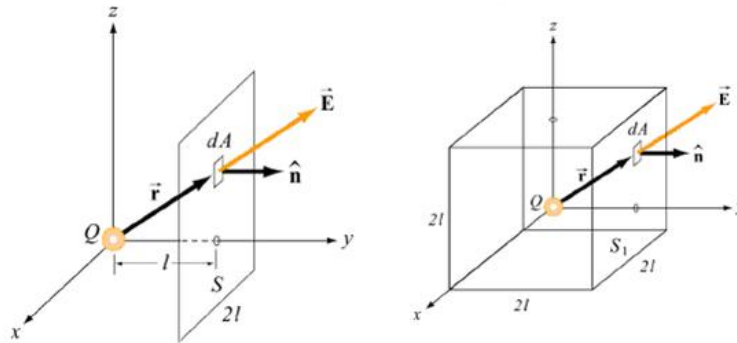
2. Para a distribuição de carga a seguir presente o gráfico do potencial elétrico ao longo do eixo y em função de y/L .



$$\begin{aligned}
\vec{E} &= \int_{\ell} dV \\
&= \int_{\ell} \frac{dq}{4\pi\epsilon_0 r'} \\
&= \int_{\ell} \frac{\rho_l dx}{4\pi\epsilon_0 \sqrt{y^2 + x^2}} \quad \boxed{\rho_l: \text{densidade linear de carga}} \\
&= \int_{\ell} \frac{Q}{\ell} \frac{dx}{4\pi\epsilon_0 \sqrt{y^2 + x^2}} \quad \boxed{\text{considerando } \rho_l \text{ constante}} \\
&= \frac{Q}{4\pi\epsilon_0 \ell} \int_{-\frac{\ell}{2}}^{\frac{\ell}{2}} (y^2 + x^2)^{-\frac{1}{2}} dx \\
&= \frac{Q}{4\pi\epsilon_0 \ell} \left[\ln \left((y^2 + x^2)^{\frac{1}{2}} + x \right) \right] \Big|_{-\frac{\ell}{2}}^{\frac{\ell}{2}} \\
&= \frac{Q}{4\pi\epsilon_0 \ell} \left[\ln \left(\sqrt{y^2 + \frac{\ell^2}{4}} + \frac{\ell}{2} \right) - \ln \left(\sqrt{y^2 + \frac{\ell^2}{4}} - \frac{\ell}{2} \right) \right] \\
&= \frac{Q}{4\pi\epsilon_0 \ell} \ln \left(\frac{\sqrt{y^2 + \frac{\ell^2}{4}} + \frac{\ell}{2}}{\sqrt{y^2 + \frac{\ell^2}{4}} - \frac{\ell}{2}} \right) \\
&= \frac{Q}{4\pi\epsilon_0 \ell} \ln \left(\frac{\sqrt{4u^2 + 1} + 1}{\sqrt{4u^2 + 1} - 1} \right) \quad \boxed{u = \frac{y}{l}}
\end{aligned}$$



3. (a) calcule o fluxo elétrico através de uma superfície quadrada de lado $2L$ devido a uma carga $+Q$ a uma distância perpendicular L do centro da superfície, como na figura. (b) Usando o resultado obtido em (a), se agora a carga está no centro de um cubo, qual é o fluxo saindo das seis faces da superfície fechada.



a)

$$\begin{aligned}
\Psi &= \int_S \vec{D} \cdot d\vec{S} && \boxed{S: \text{placa quadrada}} \\
&= \int_S \epsilon_0 \vec{E} \cdot (dx \, dz \, \hat{a}_y) \\
&= \int_S \epsilon_0 \left(\frac{Q}{4\pi\epsilon_0 r^2} \hat{a}_r \right) \cdot (dx \, dz \, \hat{a}_y) \\
&= \int_S \frac{Q}{4\pi r^2} \frac{\ell}{r} dx \, dz \\
&= \int_{-\ell}^{\ell} \int_{-\ell}^{\ell} \frac{Q\ell}{4\pi} (\ell^2 + x^2 + z^2)^{-\frac{3}{2}} dx \, dz \\
&= \int_{-\ell}^{\ell} \frac{Q\ell}{4\pi} dx \left[z(\ell^2 + x^2)^{-1} (\ell^2 + x^2 + z^2)^{-\frac{1}{2}} \right]_{-\ell}^{\ell} \\
&= \int_{-\ell}^{\ell} \frac{Q\ell}{4\pi} dx \left[\ell(\ell^2 + x^2)^{-1} (\ell^2 + x^2 + \ell^2)^{-\frac{1}{2}} + \ell(\ell^2 + x^2)^{-1} (\ell^2 + x^2 + \ell^2)^{-\frac{1}{2}} \right] \\
&= \int_{-\ell}^{\ell} \frac{Q\ell^2}{2\pi} (\ell^2 + x^2)^{-1} (2\ell^2 + x^2)^{-\frac{1}{2}} dx \\
&= \frac{Q\ell^2}{2\pi} \frac{1}{\ell^2} \left[\arctan \left(x(2\ell^2 + x^2)^{-\frac{1}{2}} \right) \right]_{-\ell}^{\ell} \\
&= \frac{Q}{2\pi} \left[\arctan \left(\ell(2\ell^2 + \ell^2)^{-\frac{1}{2}} \right) - \arctan \left(-\ell(2\ell^2 + \ell^2)^{-\frac{1}{2}} \right) \right] \\
&= \frac{Q}{2\pi} \left[\arctan \left(\frac{1}{\sqrt{3}} \right) - \arctan \left(-\frac{1}{\sqrt{3}} \right) \right] \\
&= \frac{Q}{2\pi} 2\frac{\pi}{6} \\
&= \frac{Q}{6}
\end{aligned}$$

b)

$$\Psi_t = \sum_{i=1}^6 \Psi_{S_i}$$

S_i : faces do cubo

$$= \sum_{i=1}^6 \frac{Q}{6}$$

$$= 6 * \frac{Q}{6}$$

$$= Q$$

PARTE 3

1. Problema do Capacitor cilíndrico.

O problema de encontrar a capacitância de um capacitor cilíndrico coaxial foi resolvido da seguinte maneira por Maxwell ¹ :

“ Seja a o raio da superfície externa de um cilindro condutor e b o raio da superfície interna de um cilindro oco coaxial ao primeiro ². Sejam seus potenciais A e B , respectivamente. Então, desde que o potencial V neste caso é uma função de r , a distância ao eixo, a equação de Laplace se torna

$$\frac{\partial^2 V}{\partial r^2} + \frac{1}{r} \frac{\partial V}{\partial r} = 0,$$

daí $V = C_1 + C_2 \log r$.

Como $V = A$ quando $r = a$, e $V = B$ quando $r = b$,

$$V = \frac{A \log \frac{b}{r} + B \log \frac{r}{a}}{\log \frac{b}{a}}.$$

Se σ_1 , σ_2 são as densidades superficiais das superfícies interna e externa,

$$4\pi\sigma_1 = \frac{A - B}{a \log \frac{b}{a}}, \quad 4\pi\sigma_2 = \frac{B - A}{b \log \frac{b}{a}}$$

Se E_1 e E_2 são as cargas em um pedaço de comprimento l , medido ao longo do eixo, dos dois cilindros,

$$E_1 = 2\pi a l \sigma_1 = \frac{1}{2} \frac{A - B}{\log \frac{b}{a}} l = -E_2.$$

A capacitância de um comprimento l do cilindro interior é portanto

$$\frac{1}{2} \frac{l}{\log \frac{b}{a}}.$$

Se o espaço entre os cilindros for ocupado por um dielétrico de capacitância específica ³ K em vez de ar, então a capacitância do

¹No material que segue, \log indica o logaritmo natural (\ln).

²Na verdade, b deve ser o raio do cilindro externo e a , o do interno

³Hoje se diz "constante dielétrica".

cilindro interno será

$$\frac{1}{2} \frac{lK}{\log \frac{b}{a}}.$$

A energia da distribuição elétrica na parte indicada do cilindro infinito será

$$\frac{1}{2} \frac{lK(A-B)^2}{\log \frac{b}{a}}. \quad ^4$$

Hoje usamos um sistema normalizado, por isso os valores encontrados devem ser multiplicados por $4\pi\epsilon_0$, resultando em:

$$C = \frac{2\pi l\epsilon}{\ln\left(\frac{b}{a}\right)}$$

$$W_E = \frac{2\pi l\epsilon(A-B)^2}{\ln\left(\frac{b}{a}\right)}$$

O problema pode ser resolvido de outra forma: assumindo uma carga arbitrária nas superfícies e a partir daí calculando a diferença de potencial gerada, para depois encontrar a capacitância resultante [?]. Considerando o cilindro interior carregado com a carga q , teremos:

$$\begin{aligned} q &= \oint_S \vec{D} \cdot d\vec{S} \\ &= D S \\ &= D 2\pi\rho l \implies D = \frac{q}{2\pi\rho l} \end{aligned}$$

⁴[?]

$$\begin{aligned}
V_{ab} &= - \int_b^a \vec{E} \cdot d\vec{l} \\
&= - \int_b^a E \, d\rho \\
&= - \int_b^a \frac{1}{\epsilon} D \, d\rho \\
&= - \int_b^a \frac{1}{\epsilon} \frac{q}{2\pi\rho l} \, d\rho \\
&= \frac{q}{2\pi\epsilon l} \left[\ln(\rho) \right]_a^b \\
&= \frac{q}{2\pi\epsilon l} \ln \left(\frac{b}{a} \right)
\end{aligned}$$

$$\begin{aligned}
C &= \frac{q}{V_a - V_b} \\
&= \frac{q}{V_{ab}} \\
&= \frac{2\pi\epsilon l}{\ln \left(\frac{b}{a} \right)}
\end{aligned}$$

$$\begin{aligned}
W_E &= \frac{1}{2} q V_{ab} \\
&= \frac{1}{2} q \frac{q}{2\pi\epsilon l} \ln \left(\frac{b}{a} \right) \\
&= \frac{q^2}{4\pi\epsilon l} \ln \left(\frac{b}{a} \right)
\end{aligned}$$

Se o cilindro não for infinito, não se pode usar este segundo método de solução, uma vez que o problema não é simétrico o bastante para permitir supor a distribuição de carga nas superfícies como uniforme.

O primeiro método, por sua vez, exige a solução da equação de Laplace para uma geometria desfavorável. Uma opção neste caso é recorrer a técnicas numéricas, como ilustrado em [?], que emprega um esquema de diferenças finitas onde as soluções são obtidas pelo método da relaxação sucessiva. Este é um método do tipo **explícito**, e como tal, iterativo; segundo [?], métodos explícitos são os mais usados quando se empregam diferenças finitas. . Para maior generalidade, o comprimento das placas pode ser diferente; o exemplo, no entanto, restringiu sua análise ao caso em que os cilindros estão centrados também em relação à direção \hat{a}_z . Seja o capacitor composto por dois cilindros concêntricos de comprimentos L_{int} e L_{ext} e raios R_{int} e R_{ext} , onde os subscritos se referem às superfícies interna e externa, respectivamente. Escolhendo-se o sistema de coordenadas cilíndricas e situando a origem no centro geométrico dos cilindros, teremos simetria suficiente para poder resolver o problema apenas em um quadrante ($0 \leq \phi \leq \frac{\pi}{2}$, por exemplo) e assumir o mesmo para os demais; no caso mais geral de as superfícies não estarem centradas em relação à direção \hat{a}_z , será preciso resolver a equação nos quatro quadrantes. Escolhemos resolver o problema em dois quadrantes ($0 \leq \phi \leq \pi$), por motivos que serão expostos mais à frente. [?] afirma que é preciso exigir uma precisão da ordem de 10^{-5} para que o resultado possa ser considerado satisfatório. Nossa experiência não confirmou isso. Não obtivemos resultados satisfatórios nem mesmo com uma precisão de 10^{-6} ; não chegamos a tentar com 10^{-7} , que incorre em esforço computacional proibitivo. O melhor que obtivemos foi um erro da ordem de 30% na estimativa da capacitância. Além disso, o resultado final é influenciado pela escolha das condições iniciais.

As aproximações discretas empregadas para derivadas parciais em uma dimensão são as seguintes ⁵:

$$\begin{aligned}\frac{\partial V}{\partial q} &\approx \frac{V_{n+i} - V_{n-1}}{2\Delta q} \\ \frac{\partial^2 V}{\partial q^2} &\approx \frac{V_{n+i} - 2V_n + V_{n-1}}{\Delta^2 q} \\ q &\approx i\Delta q\end{aligned}$$

onde q é uma coordenada generalizada e n identifica uma região do espaço. Em duas dimensões, isso resulta em:

$$\begin{aligned}\frac{\partial V}{\partial \rho} &\approx \frac{V_{i+i,k} - V_{i-1,k}}{2\Delta \rho} \\ \frac{\partial^2 V}{\partial \rho^2} &\approx \frac{V_{i+i,k} - 2V_{i,k} + V_{i-1,k}}{\Delta^2 \rho} \\ \frac{\partial V}{\partial z} &\approx \frac{V_{i,k+1} - V_{i,k-1}}{2\Delta z} \\ \frac{\partial^2 V}{\partial z^2} &\approx \frac{V_{i,k+1} - 2V_{i,k} + V_{i,k-1}}{\Delta^2 z} \\ \rho &\approx i\Delta \rho \\ z &\approx k\Delta z\end{aligned}$$

onde os subscritos i e k se referem às subregiões retangulares (*células*) conforme as direções \hat{a}_ρ e \hat{a}_z ; esses subscritos variarão uniformemente de 0 a N_i e N_k , portanto $\Delta \rho = \frac{R_{ext}}{2N_i}$ e $\Delta z = \frac{L_{max}}{2N_k}$, onde L_{max} é o maior entre os comprimentos L_{int} e L_{ext} . A equação de Laplace pode ser escrita então

⁵Essas expressões produzem um erro de segunda ordem quando não há descontinuidades em V [?].

como:

$$\begin{aligned}
\nabla^2 V &= 0 \\
\frac{1}{\rho} \frac{\partial}{\partial \rho} \rho \frac{\partial V}{\partial \rho} + \frac{1}{\rho^2} \frac{\partial^2 V}{\partial \phi^2} + \frac{\partial^2 V}{\partial z^2} &= 0 \\
\frac{1}{\rho} \left(\frac{\partial V}{\partial \rho} + \rho \frac{\partial^2 V}{\partial \rho^2} \right) + 0 + \frac{\partial^2 V}{\partial z^2} &= 0 \\
\frac{1}{i\Delta\rho} \left(\frac{V_{i+i,k} - V_{i-1,k}}{2\Delta\rho} + (i\Delta\rho) \frac{V_{i+i,k} - 2V_{i,k} + V_{i-1,k}}{\Delta^2\rho} \right) + \dots \\
&\quad + \frac{V_{i,k+1} - 2V_{i,k} + V_{i,k-1}}{\Delta^2 z} = \epsilon_{i,k} \\
V_{i+i,k} \left(\frac{1}{2i\Delta^2\rho} + \frac{1}{\Delta^2\rho} \right) - 2V_{i,k} \left(\frac{1}{\Delta^2\rho} + \frac{1}{\Delta^2 z} \right) + \dots \\
+ V_{i-1,k} \left(-\frac{1}{2i\Delta^2\rho} + \frac{1}{\Delta^2\rho} \right) + V_{i,k+1} \frac{1}{\Delta^2 z} + V_{i,k-1} \frac{1}{\Delta^2 z} &= \epsilon_{i,k} \\
V_{i+i,k} \left(1 + \frac{1}{2i} \right) - 2V_{i,k} \left(1 + \frac{\Delta^2\rho}{\Delta^2 z} \right) + \dots \\
+ V_{i-1,k} \left(1 - \frac{1}{2i} \right) + (V_{i,k+1} + V_{i,k-1}) \frac{\Delta^2\rho}{\Delta^2 z} &= \epsilon_{i,k}
\end{aligned}$$

onde $\epsilon_{i,k}$ é o erro de aproximação. As condições de contorno de Dirichlet

$$V(\rho, \phi, z) = \begin{cases} V_{int} / \rho = R_{int} \wedge \forall z < \frac{L_{int}}{2} \\ V_{ext} / \rho = R_{ext} \wedge \forall z < \frac{L_{ext}}{2} \end{cases}$$

podem ser escritas como

$$V_{i,k} = \begin{cases} V_{int} / i \approx \frac{R_{int}}{\Delta\rho} \wedge \forall k < \frac{L_{int}}{2\Delta z} \\ V_{ext} / i \approx \frac{R_{ext}}{\Delta\rho} \wedge \forall k < \frac{L_{ext}}{2\Delta z} \end{cases}$$

Devido à simetria do problema, valem também as seguintes condições de contorno de von Neumann ⁶:

$$\frac{\partial}{\partial \rho} V(\rho, \phi, z) = 0 \quad / \rho = 0$$

$$\frac{\partial}{\partial z} V(\rho, \phi, z) = 0 \quad / z = 0$$

As condições de contorno de von Neumann podem ser escritas como

$$V_{0,k} = V_{1,k} \quad \forall k$$

$$V_{i,0} = V_{i,1} \quad \forall i$$

A solução da equação é obtida da seguinte maneira:

1. Calcular a primeira aproximação (por exemplo, $V = \frac{V_{ext} + V_{int}}{2}$ entre os cilindros e $V = 0$ dentro do cilindro interno);
2. Impor condições de contorno de Dirichlet;
3. Impor condições de contorno de von Neumann;
4. Calcular o Laplaciano, que conterà um erro ϵ na aproximação;
5. Se o erro for menor do que o tolerável, obteve-se sucesso;
6. Caso contrário, calcular uma nova aproximação e repetir a partir do passo 3;

O método escolhido por [?] para o cálculo da nova aproximação, como já dito, foi o da relaxação sucessiva, que é o mais simples, embora não o mais eficiente. Ele apresenta código de exemplo escrito em C++, com emprego de templates; para agilizar a convergência, foi introduzido um fator de relaxação, cujo valor deve estar entre 1 e 2 e ser obtido por meio de tentativa e erro. De acordo com [?], o valor ótimo estaria próximo de $2 - \frac{\pi}{N_\rho}$, mas a geometria e o método empregado ali não são exatamente os mesmos; em nossas experiências, algumas vezes tivemos que usar um valor inclusive inferior a 1, conforme a geometria usada, de forma a evitar divergência causada por erros de arredondamento.

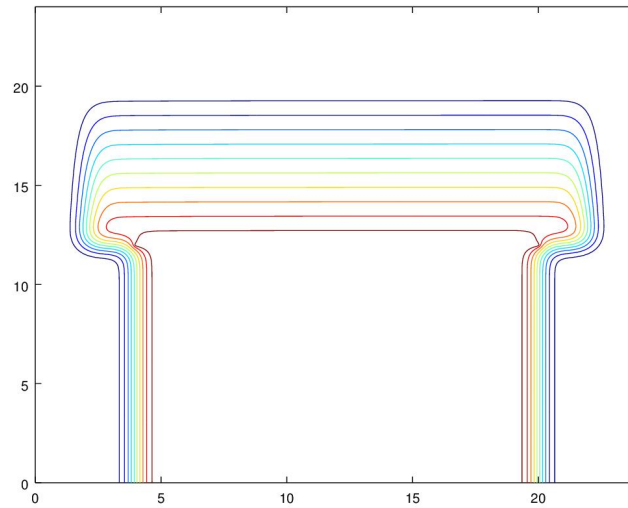
O modelo assume que os cilindros são tampados. Decidimos remover a tampa dos cilindros, de forma a poder comparar melhor o caso com o do cilindro infinito analisado teoricamente acima, e também permitiria analisar os casos onde $L_{ext} < L_{int}$. Com isso, fomos obrigados a introduzir uma condição de contorno adicional:

$$V = 0 / \rho = \infty \vee z = \infty$$

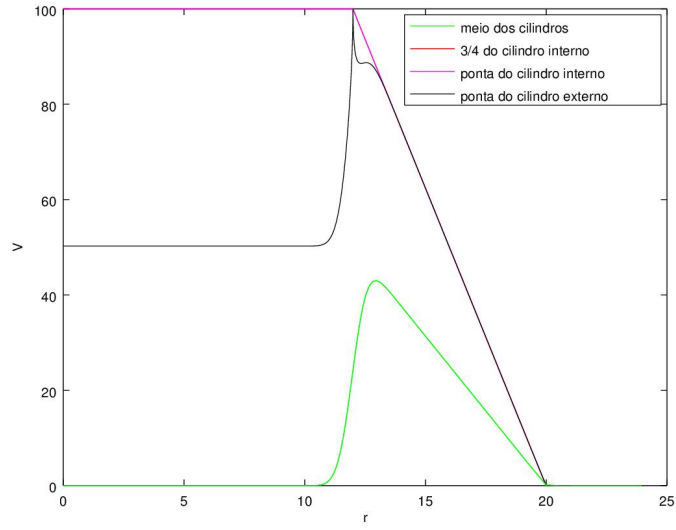
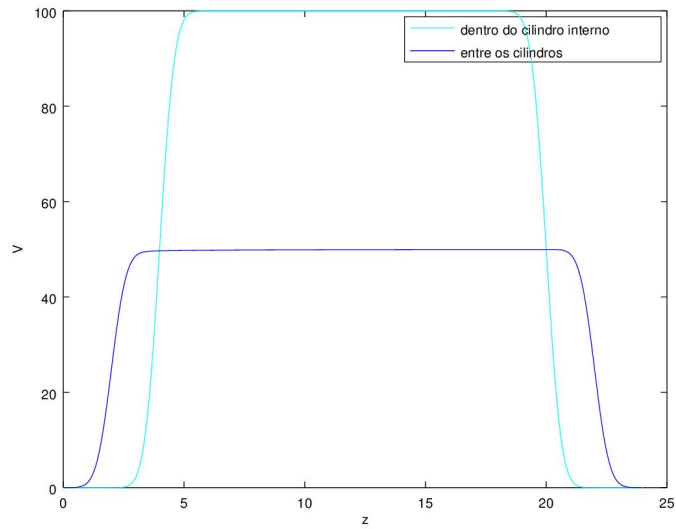
⁶Como resolvemos o problema em dois quadrantes, em lugar de apenas um, a condição de contorno para $z = 0$ não foi aplicada.

As figuras seguintes ilustram o resultado do cálculo de V para a seguinte geometria:

$$\begin{array}{ll} N_{rho} = N_z = 4000 & \epsilon = 2 \times 10^{-5} \\ R_{ext} = 20 \text{ mm} & R_{int} = 12 \text{ mm} \\ L_{ext} = 20 \text{ mm} & L_{int} = 16 \text{ mm} \\ V_{ext} = 0 \text{ V} & V_{int} = 100 \text{ V} \end{array}$$



Linhas equipotenciais

Potencial elétrico para quatro valores de z Potencial elétrico para dois valores de ρ

Para atingir tal precisão foram necessárias pouco mais de 13000 iterações do algoritmo, e um fator de relaxação de 1; o "infinito" foi localizado em $|z| = 12\text{mm}$ e em $\rho = 24\text{mm}$. Como condição inicial, usou-se o potencial correspondente aos cilindros infinitos concêntricos, o que permitiu

empregar uma precisão relativamente baixa. Segue a listagem do código responsável pelo cálculo e pela plotagem do resultado.

LISTING 1. solvegrid.m

```

1 function [V,w,erro,iter]=solvegrid(Rext,Rint,Lext,Lint,rlim,zlim,Vext,Vint,RhoNint,
   RhoNext,ZNint,ZNext,perc,maxiter,Nrho,Nz,wmax,wmin)
2 % Calcula o potencial 'V' para a geometria ('Rext','Rint','Lext','Lint','rlim','zlim')
   e as condições ('perc','maxiter','Nrho','Nz','wmax','wmin') dadas.
3 % Chamada pela função principal ('probcil').
4 % Retorna também o maior fator de relaxação 'w' para o qual o cálculo foi bem sucedido,
   o 'erro' incorrido e o número de iterações 'iter' necessário. Se o cálculo não
   for bem sucedido para nenhum 'w' na faixa indicada, retorna 0 em 'w' e NaN para as
   demais saídas.
5 % Tenta calcular o potencial com valores sucessivamente menores do fator de relaxação
   até ser bem sucedido.
6 prec = perc * abs(Vext - Vint)/100; % precisão absoluta
7 step = (wmin - wmax)/9; % negativo
8 for w=wmax:step:wmin
9     [V,erro,iter] = calcv(Rext,Rint,Lext,Lint,rlim,zlim,Vext,Vint,RhoNint,RhoNext,ZNint
       ,ZNext,prec,maxiter,Nrho,Nz,w);
10    if erro <= prec
11        % Cálculo convergiu
12        return
13    end
14    % Cálculo não convergiu. Tentar com outro fator de relaxação menor.
15    disp(sprintf('w = %f, erro = %f, iter = %d',w,erro,iter));
16 end
17 % Cálculo não convergiu para nenhum 'w' na faixa.
18 w = 0;
19 V = erro = iter = NaN;
20 return
21 end

```

LISTING 2. calcv.m

```

1 function [V,erro,i]=calcv(Rext,Rint,Lext,Lint,rlim,zlim,Vext,Vint,RhoNint,RhoNext,ZNint
   ,ZNext,prec,maxiter,Nrho,Nz,w)
2 % Tenta calcular o potencial 'V' para a geometria ('Rext','Rint','Lext','Lint','rlim','
   zlim','RhoNint','RhoNext','ZNint','ZNext') e as condições ('prec','maxiter','Nrho
   ','Nz','w').
3 % Retorna o potencial calculado, o 'erro' incorrido e o número de iterações 'i' que foi
   necessário.
4 % Chamada pela função 'solvegrid'.
5 % Inicializa 'V'
6 [V,calc]=initv(Rext,Rint,Lext,Lint,rlim,zlim,Vext,Vint,RhoNint,RhoNext,ZNint,ZNext,
   Nrho,Nz);
7 % Inicializa as variáveis auxiliares
8 last = 1e9;
9 rdelta = ( rlim * Nz ) / ( zlim * Nrho ) ;
10 % Aplica as condições de contorno de Dirichlet
11 V(RhoNext,ZNext(1):ZNext(2)) = Vext; % Vext no cilindro externo
12 V(RhoNint,ZNint(1):ZNint(2)) = Vint; % Vint no cilindro interno
13 V(Nrho,:) = 0; V(:,Nz) = 0; % 0 no "infinito"
14 for i=1:maxiter
15     % Aplica as condições de contorno de von Neumann
16     V(Nrho-1,:) = 0; V(:,Nz-1) = 0; % "infinito"
17     V(1,:) = V(2,:) ; % simetria radial
18     % Calcula o Laplaciano e o erro

```

```

19     e = calc .* (0.5 * laplacianoc(V,rdelta)/(1 + rdelta^2));
20     erro = max(max(abs(e)));
21     if erro <= prec
22         return
23     end
24     % Se o erro aumentou, para, pois o cálculo não vai convergir.
25     if erro > last
26         return
27     end
28     % Corrige os valores estimados e continua
29     V = V + w * e;
30     last = erro;
31 end
32 end

```

LISTING 3. initv.m

```

1 function [V,calc]=initv(Rext,Rint,Lext,Lint,rlim,zlim,Vext,Vint,RhoNint,RhoNext,ZNint,
   ZNext,Nrho,Nz);
2 % Inicializa o potencial 'V' para o cálculo iterativo.
3 % Retorna a grade inicializada e a posição dos cilindros nela.
4 % Chamada pela função 'calcv'.
5 % Cria a grade
6 V = zeros(Nrho,Nz);
7 % Calcula a aproximação inicial.
8 % Teoricamente, a aproximação inicial pode ser qualquer; no etantom para tentar
   auxiliar a convergência, foram escolhidas as condições seguintes:
9 % ... Vint dentro do cilindro interno
10 V(1:RhoNint,ZNint(1):ZNint(2)) = Vint;
11 % ... queda exponencial até Vext no cilindro externo
12 a = (Vint - Vext) / (RhoNint - RhoNext);
13 for i = RhoNint:RhoNext
14     V(i,ZNext(1):ZNext(2)) = Vint * log(RhoNext/i);
15 end
16 % Onde não calcular o Laplaciano
17 calc = ones(Nrho,Nz);
18 calc(RhoNext,ZNext(1):ZNext(2)) = 0; % no cilindro externo
19 calc(RhoNint,ZNint(1):ZNint(2)) = 0; % no cilindro interno
20 end

```

LISTING 4. laplacianoc.m

```

1 function e=laplacianoc(V,rdelta)
2 % Calcula o Laplaciano de 'V' em coordenadas cilíndricas. 'rdelta' é a razão entre
   Delta rho e Delta z escolhida.
3 % Os melhores resultados são obtidos quando rdelta = 1.
4 % Chamada pela função 'calcv'.
5 [nrow,ncol] = size(V);
6 e = zeros(nrow,ncol);
7 m = 0.5 * [2:nrow-1].^(-1);
8 % e(i,k) = V(i+1,k)*(1 + 1/(2*i)) + V(i-1,k)*(1-1/(2i)) + ((V(i,k+1) + V(i,k-1))*(
   rdelta^2) - V(i,k)*2*(1+rdelta^2);
9 e(2:nrow-1,2:ncol-1) = V(3:nrow,2:ncol-1) .* (1+m) + V(1:nrow-2,2:ncol-1) .* (1-m) +
   (V(2:nrow-1,3:ncol) + V(2:nrow-1,1:ncol-2))*(rdelta^2) - V(2:nrow-1,2:ncol-1)
   *2*(1+rdelta^2);
10 end

```

LISTING 5. plotv.m

```

1 function plotv(V,RhoNext,RhoNint,ZNext,ZNint,rlim,zlim,Nrho,Nz)
2 % Plota e grava os gráficos que ilustram o potencial 'V' para a geometria dada ( '
   RhoNext', 'RhoNint', 'ZNext', 'ZNint', 'rlim', 'zlim', 'Nrho', 'Nz') .
3 % Chamada pela função principal ('probcil') .
4 txV = linspace (0,rlim,Nrho);
5 tyV = linspace (0,zlim,Nz);
6 % Contorno
7 figure(1); clf; hold on;
8 contour(txV,tyV,V);
9 ab = colorbar();
10 set(ab,'title','V');
11 print -djpg probcilv1.jpg;
12 % Heatmap
13 figure(2); clf; hold on;
14 pcolor(txV,tyV,V);
15 shading interp;
16 ab = colorbar();
17 set(ab,'title','V');
18 print -djpg probcilv2.jpg;
19 % 3D
20 figure(3); clf; hold on;
21 meshc(tyV,txV,V);
22 ab = colorbar();
23 set(ab,'title','V');
24 print -djpg probcilv3.jpg;
25 % 2D
26 % Potencial para 4 valores diferentes de z
27 figure(4); clf; hold on;
28 plot(txV,V(:,floor(Nz/2)), 'r');
29 plot(txV,V(:,floor(Nz/2 + ZNint(2)/4)), 'm');
30 plot(txV,V(:,ZNint(2)), 'k');
31 plot(txV,V(:,ZNext(2)), 'g');
32 legend('meio dos cilindros','3/4 do cilindro interno','ponta do cilindro interno','
   ponta do cilindro externo');
33 xlabel('r'); ylabel('V');
34 print -djpg probcilv4.jpg;
35 % Potencial para 2 valores diferentes de rho
36 figure(5); clf; hold on;
37 plot(tyV,V(floor(RhoNint/2),:), 'c');
38 plot(tyV,V(floor((RhoNint+RhoNext)/2),:), 'b');
39 legend('dentro do cilindro interno','entre os cilindros');
40 xlabel('z'); ylabel('V');
41 print -djpg probcilv5.jpg;
42 end

```

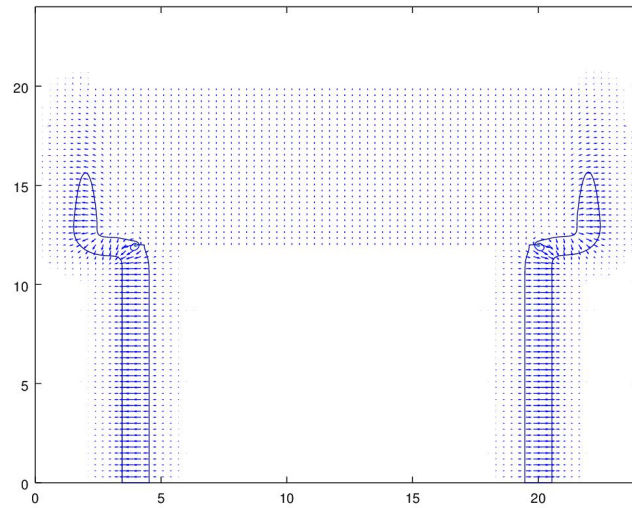
Calculado o potencial, obtém-se o campo elétrico através da expressão:

$$\vec{E} = -\frac{\partial}{\partial \rho} \hat{a}_\rho + \frac{1}{\rho} \frac{\partial}{\partial \phi} \hat{a}_\phi + \frac{\partial}{\partial z} \hat{a}_z V$$

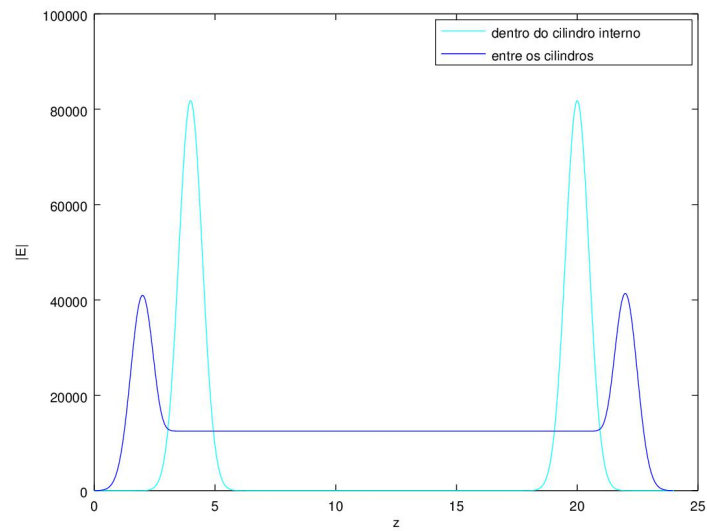
que pode ser escrita em forma discreta como:

$$\vec{E} = -\left(\frac{V_{i+1,k} - V_{i-1,k}}{\Delta \rho}\right) \hat{a}_\rho - \left(\frac{V_{i,k+1} - V_{i,k-1}}{\Delta z}\right) \hat{a}_z$$

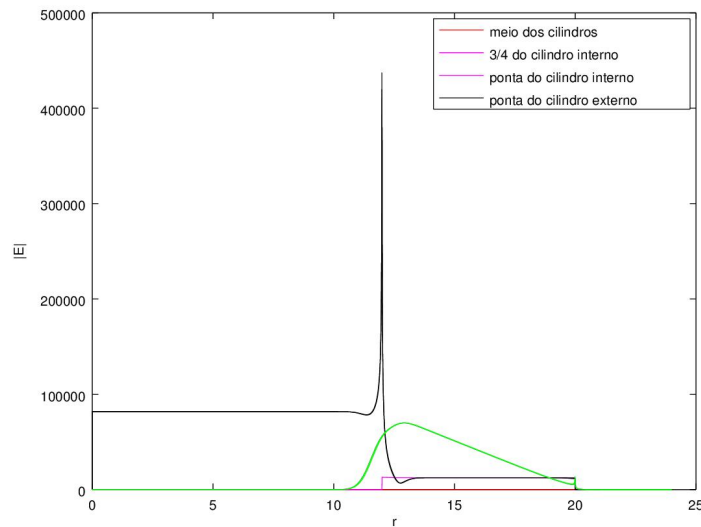
O campo elétrico na região está ilustrado nas figuras seguintes:



Linhas equipotenciais e intensidade do campo elétrico



Intensidade do campo elétrico para dois valores de ρ

Intensidade do campo elétrico para quatro valores de z

A densidade superficial de carga em cada ponto do cilindro interno será dada por $\rho_s = \vec{D} \cdot \hat{a}_\rho = \epsilon_0 E_\rho$. Basta integrar numericamente essa densidade para encontrar a carga total; a partir daí calcula-se a capacitância da configuração. Uma maneira de conferir a correção dos resultados é calcular a carga nas superfícies externa e interna; os valores devem ser iguais.

Para a geometria listada anteriormente, o resultado encontrado foi $q = 162 \text{ pC}$ na superfície interna e $q = 130 \text{ pC}$ na externa, o que corresponde a um erro de cerca de 19%. A capacitância estimada está por volta de 14 pF . Segue a listagem do código responsável pelo cálculo de \vec{E} , q e C , pelos gráficos complementares e o script que executa as funções listadas para as condições do exemplo:

LISTING 6. calce.m

```

1 function [Erho,Ez]=calce(V,rlim,zlim)
2 % Calcula o campo elétrico a partir do potencial, para a grade indicada ('rlim','zlim')
3 % Considera 'rlim' e 'zlim' em mm.
4 % Chamada pela função principal ('probcil.m').
5 [nrow,ncol] = size(V);
6 Erho = Ez = zeros(nrow,ncol);
7 mrho = - 500 * nrow / rlim;
8 mz = - 500 * ncol / zlim;
9 Erho(2:nrow-1,2:ncol-1) = mrho * (V(3:nrow,2:ncol-1) - V(1:nrow-2,2:ncol-1));
10 Ez(2:nrow-1,2:ncol-1) = mz * (V(2:nrow-1,3:ncol) - V(2:nrow-1,1:ncol-2));
11 end

```

LISTING 7. `plote.m`

```

1 function plote(Erho,Ez,rlim,zlim,Nrho,Nz)
2 % Plota e grava os gráficos que ilustram o campo elétrico 'E' para a grade dada ('rlim
  ','zlim','Nrho','Nz').
3 % Chamada pela função principal ('probcil').
4 Eabs = (Erho.^2 + Ez.^2).^0.5;
5 txV = linspace(0,rlim,Nrho);
6 tyV = linspace(0,zlim,Nz);
7 txE = txV(1:50:Nrho);
8 tyE = tyV(1:50:Nz);
9 Ey = Erho(1:50:Nrho,1:50:Nz);
10 Ex = Ez(1:50:Nrho,1:50:Nz);
11 % Contorno
12 figure(1); clf; hold on;
13 contour(txV,tyV,Eabs);
14 quiver(txE,tyE,Ex,Ey);
15 ab = colorbar();
16 set(ab,'title','V/m');
17 print -djpg probcile1.jpg;
18 % Heatmap
19 figure(2); clf; hold on;
20 pcolor(txV,tyV,Eabs);
21 shading interp;
22 ab = colorbar();
23 set(ab,'title','V/m');
24 print -djpg probcile2.jpg;
25 % 3D
26 figure(3); clf; hold on;
27 meshc(tyV,txV,Eabs);
28 ab = colorbar();
29 set(ab,'title','V/m');
30 print -djpg probcile3.jpg;
31 % 2D
32 % Intensidade do campo para 4 valores diferentes de z
33 figure(4); clf; hold on;
34 plot(txV,Eabs(:,1),'r');
35 plot(txV,Eabs(:,floor(ZNint/2)),'m');
36 plot(txV,Eabs(:,ZNint),'k');
37 plot(txV,Eabs(:,ZNext),'g');
38 legend('meio dos cilindros','3/4 do cilindro interno','ponta do cilindro interno','
  ponta do cilindro externo');
39 xlabel('r'); ylabel('|E|');
40 print -djpg probcile4.jpg;
41 % Intensidade do campo para 2 valores diferentes de rho
42 figure(5); clf; hold on;
43 plot(tyV,Eabs(floor(RhoNint/2),:),'c');
44 plot(tyV,Eabs(floor((RhoNint+RhoNext)/2),:),'b');
45 legend('dentro do cilindro interno','entre os cilindros');
46 xlabel('z'); ylabel('|E|');
47 print -djpg probcile5.jpg;
48 end

```

LISTING 8. `probcil.m`

```

1 %function [V]=probcil(Rext,Rint,Lext,Lint,rlim,zlim,Vext,Vint,prec,maxiter,Nrho,Nz,wmax
  ,wmin)

```



```

2 % Calcula o perfil do potencial elétrico, do campo elétrico, a distribuição de carga e
  a capacitância para o problema de dois cilindros finitos concêntricos de raios '
  Rext' e 'Rint', comprimentos 'Lext' e 'Lint' (dimensões em milímetros).
3 % Assume os potenciais 'Vext' e 'Vint' nas superfícies.
4 % Assume o potencial nulo no infinito ('rlim' e 'zlim').
5 % Usa uma grade de 'Nrho' linhas e 'Nz' colunas. Exige precisão mínima percentual 'prec
  '. Limita o número de iterações em 'maxiter', por segurança.
6 % Tenta fatores de relaxação na faixa 'wmin' <= 'w' <= 'wmax'.
7 % Exemplo de uso:
8 %   probcil(20,18,20,16,50,50,200,100,1,500,200,200,1.2,0.1)
9 % Calcula as coordenadas das extremidades dos cilindros na grade escolhida
10 RhoNint = floor(Nrho * Rint / rlim); % Posição radial do cilindro interno
11 RhoNext = floor(Nrho * Rext / rlim); % Posição radial do cilindro externo
12 TNint= Nz * Lint / zlim; % Comprimento do cilindro interno
13 TNext= Nz * Lext / zlim; % Comprimento do cilindro externo
14 ZNint= floor(Nz/2 + TNint * [-0.5 0.5]); % Posição das extremidades do cilindro
  interno
15 ZNext= floor(Nz/2 + TNext * [-0.5 0.5]); % Posição das extremidades do cilindro
  externo
16 % Tenta calcular o potencial 'V' (apenas em dois quadrantes, por simetria)
17 [V,w,erro,iter]=solvegrid(Rext,Rint,Lext,Lint,rlim,zlim,Vext,Vint,RhoNint,RhoNext,
  ZNint,ZNext,prec,maxiter,Nrho,Nz,wmax,wmin);
18 if w == 0
19     disp("O cálculo não convergiu para nenhum fator de relaxação na faixa indicada.");
20     return
21 end
22 disp(sprintf("O cálculo convergiu com fator de relaxação %f após %d iterações", w,
  iter));
23 % Plota 'V' (em apenas dois quadrantes)
24 %plotv(V,RhoNext,RhoNint,ZNext,ZNint,rlim,zlim,Nrho,Nz);
25 % Calcula e plota o campo elétrico 'E' (em apenas dois quadrantes)
26 [Erho,Ez]=calce(V,rlim,zlim);
27 %plote(Erho,Ez,rlim,zlim,Nrho,Nz);
28 % Calcula a carga (em nC) e a capacitância (em nF)
29 qint = 2 * pi * Rint * 8.854e-9 * sum(Erho(RhoNint+1:ZNint(2))) * zlim/Nz;
30 qext = 2 * pi * Rext * 8.854e-9 * sum(Erho(RhoNext,ZNext(1):ZNext(2))) * zlim/Nz;
31 erro = 100 * abs(1 - qext/qint);
32 disp(sprintf("Carga nas superfícies: externa = %f nC, interna = %f nC. Erro = %f ",
  qext, qint, erro));
33 % rho = 0.5 * laplacianoc(V,rdelta)/(1 + rdelta^2);
34 % q = 2 * pi * Rint * 8.854e-12 * sum(rho(RhoNint,ZNint(1):ZNint(2))) * zlim/Nz *
  rlim/Nrho;
35 C = abs(qint/(Vext - Vint));
36 disp(sprintf("Capacitância estimada: %f nF", C));
37 %end

```

LISTING 9. solvecil.m

```

1 % Inicialização dos parâmetros
2 % Parâmetros
3 Nrho = Nz = 4000; % divisões da grade
4 prec = 0.002; % precisão percentual a obter
5 maxiter= 40000; % máximo de iterações tolerado
6 rlim = zlim = 24; % posição do "infinito"
7 % Geometria dos cilindros (em mm)
8 Rext = 20;
9 Rint = 12;
10 Lext = 20;
11 Lint = 16;

```

```
12 % Outros dados do problema
13 Vext = 0;
14 Vint = 100;      % V
15 wmax = 1;
16 wmin = 0.1;
17 % Solução
18 V = probcil(Rext,Rint,Lext,Lint,rlim,zlim,Vext,Vint,prec,maxiter,Nrho,Nz,wmax,wmin);
```

2. Problema de Linha de Transmissão.

a) Seja L um fio condutor reto, de diâmetro $2a$ e comprimento infinito, suspenso a uma altura h do chão, considerado uma superfície equipotencial. Supondo um segmento de comprimento l carregado uniformemente com uma carga q , pelo método das imagens devemos considerar a existência de uma linha L' com densidade linear de carga $-\frac{q}{l}$ a uma profundidade $-h$, perfeitamente paralela ao fio. O campo elétrico em um ponto qualquer $P = \{x, y, z\}$ será dado por [?]:

$$z \leq 0 \implies \vec{E} = \vec{0}$$

$$0 \leq z \leq (h - a) \implies \vec{E} = \vec{E}_L + \vec{E}_{L'}$$

$$\begin{aligned} &= \frac{q}{2\pi l \epsilon_0 r_L^2} \vec{r}_L - \frac{q}{2\pi l \epsilon_0 r_{L'}^2} \vec{r}_{L'} \\ &= \frac{q}{2\pi l \epsilon_0} \left(\frac{x\hat{a}_x + (z - h)\hat{a}_z}{x^2 + (z - h)^2} - \frac{x\hat{a}_x + (z + h)\hat{a}_z}{x^2 + (z + h)^2} \right) \end{aligned}$$

Por simetria, $E_y = 0$

$$(h - a) \leq z \leq (h + a) \implies \vec{E} = \vec{0}$$

$$z \geq (h + a) \implies \vec{E} = \frac{q}{2\pi l \epsilon_0} \left(\frac{x\hat{a}_x + (z - h)\hat{a}_z}{x^2 + (z - h)^2} - \frac{x\hat{a}_x + (z + h)\hat{a}_z}{x^2 + (z + h)^2} \right)$$

$$z \leq 0 \implies V_P = 0$$

$$\begin{aligned}
0 \leq z \leq (h - a) &\implies V_P = - \int_{\ell} \vec{E} \cdot \vec{d\ell} \\
&= - \int_0^z \frac{q}{2\pi l\epsilon} \left(\frac{x\hat{a}_x + (z - h)\hat{a}_z}{x^2 + (z - h)^2} - \dots \right. \\
&\quad \left. - \frac{x\hat{a}_x + (z + h)\hat{a}_z}{x^2 + (z + h)^2} \right) \cdot (dz \hat{a}_z) \\
&= - \frac{q}{2\pi l\epsilon} \int_0^z \left(\frac{z - h}{x^2 + (z - h)^2} - \frac{z + h}{x^2 + (z + h)^2} \right) dz \\
&= - \frac{q}{2\pi l\epsilon} \left\{ \int_0^z \frac{z - h}{x^2 + (z - h)^2} dz - \int_0^z \frac{z + h}{x^2 + (z + h)^2} dz \right\} \\
&= - \frac{q}{2\pi l\epsilon} \left\{ \int_{-h}^{z-h} \frac{u}{x^2 + u^2} du - \int_h^{z+h} \frac{v}{x^2 + v^2} dv \right\} \\
&\quad \boxed{u = z - h, v = z + h} \\
&= - \frac{q}{2\pi l\epsilon} \left\{ \left[\frac{1}{2} \ln(x^2 + u^2) \right] \Big|_{-h}^{z-h} - \left[\frac{1}{2} \ln(x^2 + v^2) \right] \Big|_h^{z+h} \right\} \\
&= - \frac{q}{4\pi l\epsilon} \left\{ \ln \left(\frac{x^2 + (z - h)^2}{x^2 + h^2} \right) - \ln \left(\frac{x^2 + (z + h)^2}{x^2 + h^2} \right) \right\} \\
&= \frac{q}{4\pi l\epsilon} \ln \left(\frac{x^2 + (z + h)^2}{x^2 + (z - h)^2} \right)
\end{aligned}$$

$$(h - a) \leq z \leq (h + a) \implies V_P = 0$$

$$z \geq (h + a) \implies V_P = \frac{q}{4\pi l\epsilon} \ln \left(\frac{x^2 + (z + h)^2}{x^2 + (z - h)^2} \right)$$

$$\begin{aligned}
 V_L &= V_{\{0,0,h-a\}} \\
 &= \frac{q}{4\pi l\epsilon} \ln \left(\frac{0^2 + (h-a+h)^2}{0^2 + (h-a-h)^2} \right) \\
 &= \frac{q}{4\pi l\epsilon} \ln \left(\frac{(2h-a)^2}{a^2} \right) \\
 &= \frac{q}{2\pi l\epsilon} \ln \left(\frac{2h-a}{a} \right)
 \end{aligned}$$

$$\begin{aligned}
 C &= \frac{q}{V_L} \\
 &= \frac{2\pi l\epsilon}{\ln \left(\frac{2h-a}{a} \right)}
 \end{aligned}$$

$$\begin{aligned}
 W &= \frac{1}{2} q V \\
 &= \frac{1}{2} q \frac{q}{2\pi l\epsilon} \ln \left(\frac{2h-a}{a} \right) \\
 &= \frac{q^2}{4\pi l\epsilon} \ln \left(\frac{2h-a}{a} \right)
 \end{aligned}$$

b) Seja L um fio condutor reto, de comprimento infinito, paralelo a outro fio idêntico L' a uma distância d . O resultado do item anterior permite dizer que a capacitância e a energia acumulada são dados pelas mesmas expressões, com a mera substituição de h por $\frac{d}{2}$. Assim,

$$V_L = \frac{q}{2\pi l\epsilon} \ln \left(\frac{d-a}{a} \right)$$

$$C = \frac{2\pi l\epsilon}{\ln \left(\frac{d-a}{a} \right)}$$

$$W = \frac{q^2}{4\pi l\epsilon} \ln \left(\frac{d-a}{a} \right)$$

c) Para configurações mais complexas, basta combinar o resultado dos itens anteriores para encontrar expressões para C e W , uma vez que a linearidade do problema permite empregar o princípio de superposição e somar os potenciais gerados por cada fio sobre os demais para encontrar o potencial total.

Por exemplo, no caso de uma linha de transmissão trifásica, composta por 3 condutores paralelos de diâmetro $2a$, distantes d e a uma altura h do solo, podemos escrever:

$$\begin{aligned} V_{L_1} &= V_{L_1 L_1} + V_{L_1 L_2} + V_{L_1 L_3} \\ &= V\{0, 0, h - a\} + V\{d, 0, h - a\} + V\{2d, 0, h - a\} \\ &= \frac{q}{4\pi l\epsilon} \left[\ln \left(\frac{(2h - a)^2}{a^2} \right) + \ln \left(\frac{d^2 + (2h - a)^2}{d^2 + a^2} \right) + \ln \left(\frac{4d^2 + (2h + a)^2}{4d^2 + a^2} \right) \right] \\ &= \frac{q}{4\pi l\epsilon} \ln \left(\frac{(2h - a)^2 [d^2 + (2h - a)^2] [4d^2 + (2h + a)^2]}{a^2 [d^2 + a^2] [4d^2 + a^2]} \right) \end{aligned}$$

REFERÊNCIAS

- [IDA 2000] Nathan IDA, **Engineering Electromagnetics**, New York, Springer, 2000, ISBN 978-1-4757-3287-0, Cap. 6.3, pp. 356 a 367.
- [MACEDO 1988 1] Annita MACEDO, **Eletromagnetismo**, Guanabara, 1988, Cap. 2, pp. 30 a 44.
- [MACEDO 1988 2] Annita MACEDO, *op. cit.*, Formulário, pp. 619 a 628.
- [MAXWELL 1873 1] James C. MAXWELL, **A Treatise On Electricity And Magnetism**, Vol. I, Clarendon Press, 1873, Chapter VIII, it. 126, pp. 154 a 155.
- [SADIKU 2000 1] Matthew N. O. SADIKU, **Elements of Electromagnetics**, Oxford University Press, 3rd Ed., 2000, Chapter 6.5, p. 227.
- [SADIKU 2000 2] Matthew N. O. SADIKU, *op. cit.*, Chapter 6.6, pp. 242 a 243.
- [XAVIER 2007] Ademir L. XAVIER Jr., **Modelagem computacional em problemas de eletrostática: efeito de campos de borda em capacitores cilíndricos finitos**, in Revista Brasileira de Ensino de Física, v. 29, n. 2, pp. 241-249, (2007).
- [RYLANDER et. al. 2010] Thomas RYLANDER et. al., **Computational Electromagnetics**, 2nd Ed., Springer, 2010, ISBN 978-1-4614-5351-2, Chapter 3, pp. 19-26.

A solução de algumas integrais indefinidas foi obtida no site **Wolfram Alpha**:

<http://www.wolframalpha.com/widget/widgetPopup.jsp?p=v&id=7d800d10b8bfcd949b17866c0679e786>.

Os gráficos foram preparados pelo **Octave** 4.0.0:

<https://www.gnu.org/software/octave/>

O texto foi formatado com **pdflatex** em ambiente MiKTeX 2.9

<http://miktex.org/download/>